

## II-10 揚注水による被圧帯水層の水圧並びに地層の変動に関する模型実験

正員 京都大学防災研究所 ○赤井浩一  
准員 京大大学院工学研究科 鈴木伸彦

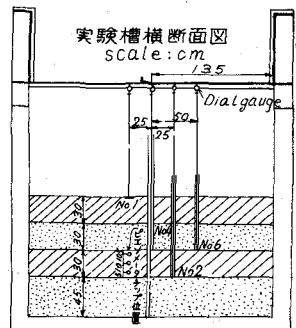
地下水の揚水による地下水圧の低下と地盤沈下との関係、あるいは地下注水による地下水圧の上昇と地盤隆起との関係については、従来もっぱら現地を対象にして観測、測量が行われ、またそれに基づいて理論的考察がなされてきた。しかし現地の地下構造やその物理性質については不明な点が多く、また揚注水実験そのものが種々の制約を受けて満足な実験を行うことは至難であり、地盤沈下防止対策に要求される技術的、具体的な問題処理に対する手のとどかない点が多い。このため筆者の一人はまさに地下水に関する水理実験施設を完成し、これを用いて被圧帯水層が一層の場合の揚注水実験を行い、弾性帯水層理論の適合性からこの種の水理模型実験の可能性を実証した。<sup>1)</sup> 今回は引き続き現地の実情に近い帯水層が二層の場合について、水圧及び地層の変動を測定した結果を述べる。

実験施設は長さ5m、幅2.7m、高さ1.5mの鉄筋コンクリート製矩形槽を主体とし、側壁の一方側には地下水に水頭を有する水槽が直結され、実験中絶えず溢流させて一定水頭を保たれていた。図-1の断面図に示すように、径2.5mmの溝を通過する川砂を二層に分けて敷きつめ、上方よりそれぞれ第I、第II帯水層と名付けた。この両帯水層を隔離する粘土質ローム層を第I粘土層、地表の被覆層を表層粘土層とし、帯水層に与えられた被圧水頭は、この実験では揚水の場合第I帯水層上面より約20cm、注水の場合同じく約10cmの高さに一定した。揚水用井戸は径50mmの亜鉛引鉄管で、各帯水層に接する部分にストレーナーを切ったものを用い、帯水層内の水圧変動の測定は8本の観測井と、各所に埋設した20cmの水圧測定用ビニール管とを用いて電気抵抗式水位計に導き、前置増幅器、直流増幅器を経て6成分ペンオッショグラフで自記せしめた。同時に第I粘土層内の間隙水圧を揚注水井から25cm離れた位置に設けたピエゾメーターを用いて測定し、また各帯水層及び粘土層の伸縮変動を図-1の位置に設置したアルミニニューム製の沈下板とダイアルゲージで読み取った。井戸よりの揚水には実験槽の容量を考慮してギヤポンプを用い、これに直結した1/16HPの可変速モーターで駆動した。一方井戸への注水には特殊の水頭を持つ水槽よりの定圧注入を行い、水量の測定にはメスシリンダーまたはベンチユリメーターを使用した。

以上の実験装置によってつきの実験を行った。

- (1) 各帯水層別揚水実験による帯水層常数の決定
- (2) 両帯水層からの同時揚水による水圧並びに地層の変動測定
- (3) 両帯水層への同時注水による水圧並びに地層の変動測定
- (4) 連續繰返し揚水実験による地層の変動測定

これは揚水-揚水間復元は揚水-定圧注水の時間比を種々に変えて実験を行った。



いま無限に広がった弾性帶水層から 1 つの井戸によつて揚水すると、被压地下水の水圧は周知のように次式に従つて低下す。

$$\zeta = \frac{Q}{4\pi k D} \int^{\infty} \frac{e^{-u}}{u} du, \quad \lambda = \frac{\sigma r^2}{4\pi C} \quad (1)$$

こゝに  $Q$  は単位時間当りの揚水量、  $D$  は帶水層の厚さ、  $k$  は透水係数、  $\sigma$  は圧縮率、  $r$  は揚水井戸より観測点までの水平距離、  $t$  は時間を表わす。

各帶水層別揚水による 3 本模型実験の場合について、周囲の固定壁によつて映像井戸の効果を補正し、かつ揚水開始より充分時間が経過した後について考えると次式が成立す。

$$\begin{aligned} \zeta &= \frac{2.303}{4\pi k D} \left( \sum Q_i \log \frac{t}{r_i^2} - \sum Q_i \log \frac{\sigma}{2.25k} \right) \\ &= \frac{2.303}{4\pi k D} \left( \sum Q_i \log t - \sum Q_i \log \frac{\sigma}{2.25k} - \sum 2Q_i \log r_i \right) \quad (2) \end{aligned}$$

こゝで  $Q_i$  は絶対値を等しく、揚水の場合には正、注水の場合には負とす。従つて実測の水圧低下量を半対数紙上で時間  $t$  に対してプロットすれば、揚水あるいは注水開始より充分時間が経過した後には、両者の関係は直線にす。

この関係を用いて実験(1)より得た結果を得た。

### 第Ⅰ帶水層 第Ⅱ帶水層

透水俌数 (cm/sec)	$1.06 \times 10^{-1}$	$4.65 \times 10^{-2}$
揚水時の圧縮率 ( $\text{cm}^{-1}$ )	$9.00 \times 10^{-5}$	$8.23 \times 10^{-5}$
回復時の圧縮率 ( $\text{cm}^{-1}$ )	$8.45 \times 10^{-5}$	$7.21 \times 10^{-5}$

これより両帶水層とも水圧変化に対しては、弾性的な挙動を示すが、回復時の水圧上昇期間の圧縮率は揚水時の水圧低下期間のそれよりも小さく、揚水-揚水停止のサイクルの間に帶水層内に残留圧縮を生ずることが予想される。

図-2はこの現象を実験(2)について実測した一例であつて、地層の圧縮は水圧変動と同様の挙動を不すが、前者が短時間に回復するのに反し、後者では相当長時間後もまだかなりの圧縮歪が残留していることが明らかである。図-3、4 は実験(4)の連続繰返し揚水実験の場合の地層の変動を示すもので、図-3より繰返し揚水による残留圧縮量の累積と、図-4よりその防止対策としての注水の効果が見られる。

- 1) 遠水鏡一郎、赤井浩一(1955): 被压地下水変動と地盤沈下に関する模型実験(土木学会関西支部講演会)

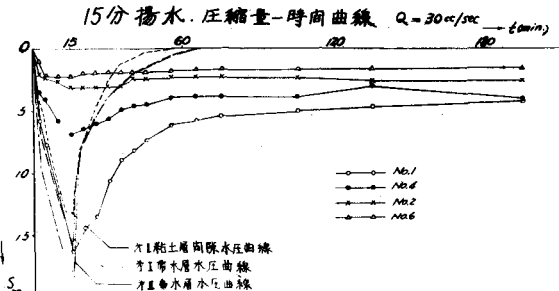


図-2

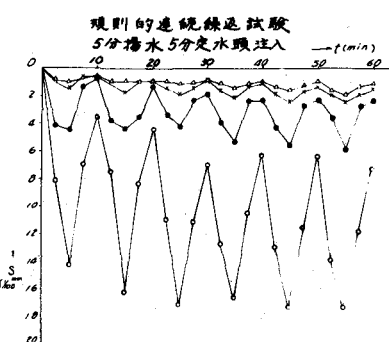
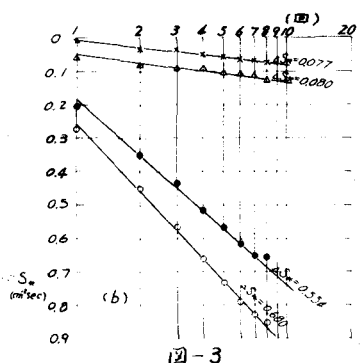
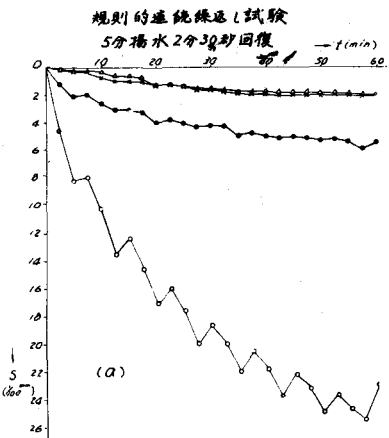


図-4